

ПРИМЕСНЫЕ СОСТОЯНИЯ ИНДИЯ В PbS

Алексеева Г. Т., Вейс А. Н., Гуриева Е. А.,
Жукова Т. Б., Прокофьева Л. В.

В $\text{PbS}(\text{In})$ и $\text{PbS}(\text{In}, \text{Cl})$ исследованы коэффициенты Холла, электропроводности, термоэдс, спектры оптического поглощения и отражения. Появление участка слабого роста холловской концентрации в зависимости от концентрации доноров, заметное уменьшение n_x с температурой, дополнительное рассеяние высокозенергетичных дырок, возрастающее с ростом концентраций индия, и, наконец, дополнительное оптическое поглощение в предкраевой области рассматриваются как свидетельство образования в электронном спектре квазилокальных примесных состояний. Обсуждаются механизмы их формирования.

Существует несколько подходов для объяснения экспериментальных результатов, полученных при легировании PbTe элементами III группы. Имеются в виду модель квазилокальных примесных состояний с корреляционной энергией $U \approx 0$ [1], модели $U < 0$ -центра [2, 3], представления об изменении механизма вхождения примеси в решетку [4-8].

Выбор $\text{PbSe}(\text{In})$ как объекта исследования расширил сведения о характере изменения свойств при легировании, полученные результаты по кинетическим эффектам [9] и спектрам поглощения [10] позволили отойти от первой из указанных моделей. Важно понять, насколько общим является этот результат. С этой точки зрения актуально дополнить скучные сведения, имеющиеся в литературе, о поведении примеси In в PbS [1].

В настоящей работе объектами исследования служат поликристаллические образцы $\text{PbS}(\text{In})$, $\text{PbS}(\text{In}, \text{Cl})$, $\text{PbS}(\text{Cl})$, приготовленные металлокерамическим методом с последующим гомогенизирующим отжигом. Содержание индия в образцах варьировалось в пределах 0–2, хлора — 0–1.5 ат%. Исследовались параметр решетки, температурные зависимости кинетических коэффициентов: Холла (R_x), электропроводности (σ) и термоэдс (S) в интервале температур 77–750 К, а также коэффициенты оптического поглощения $\alpha(\hbar\omega)$ и отражения $R(\lambda)$ при 120 и 300 К.

Экспериментальные результаты представлены на рис. 1–5. Данные рис. 1, a свидетельствуют о растворимости In в PbS в указанном пределе концентраций. На рис. 1, б показано донорное действие примесей при 77 К. В области концентраций индия ниже 0.6 ат% практически все примесные атомы электроактивны, экспериментальные значения n_x близки к расчетным, полученным в предположении, что каждый примесный атом создает один свободный электрон. В области примесных концентраций выше 1 ат% эффективность донорного действия In заметно понижена: при двукратном увеличении концентрации примесных атомов холловская концентрация возрастает лишь на $\approx 30\%$. Такой же характер носит зависимость n_x от концентрации доноров и при двойном легировании PbS индием и хлором. Большая часть измерений выполнена на образцах, содержащих 0.5 ат% In, концентрация хлора при этом варьировалась от 0.25 до 1.0 ат%. Уменьшение доли In до 0.2 ат% не изменило общей закономерности. Отклонение от аддитивного действия примесей становится заметным, когда суммарная концентрация примесей достигает 0.6 ат%. Величины n_x при более высоких уровнях легирования ложатся на общую кривую.

На рис. 2 приведены температурные зависимости R_x для образцов разного легирования: в образцах 1 и 3 достигнута предельно высокая холловская концентрация носителей, в образцах 2 и 4 она несколько меньше. Видно, что введение примеси In вызывает температурный рост коэффициента Холла (образцы 1—3). Наиболее сильный рост (начиная от низких температур) наблюдается для образца 1. С уменьшением дозы In в образце 2 уменьшается интенсивность роста и сдвигается его начало в область более высоких температур. При двойном легировании, когда доза In еще меньше, рост R_x , как и в образце 1, начинается сразу при повышении T , однако суммарный эффект меньше.

Величины эффективных масс проводимости m_R в образцах $\text{PbS}\langle\text{In}\rangle$, определенные по положению плазменных минимумов в спектрах $R(\lambda)$, не претерпевают заметных изменений по сравнению с данными для $\text{PbS}\langle\text{Cl}\rangle$ (рис. 3).

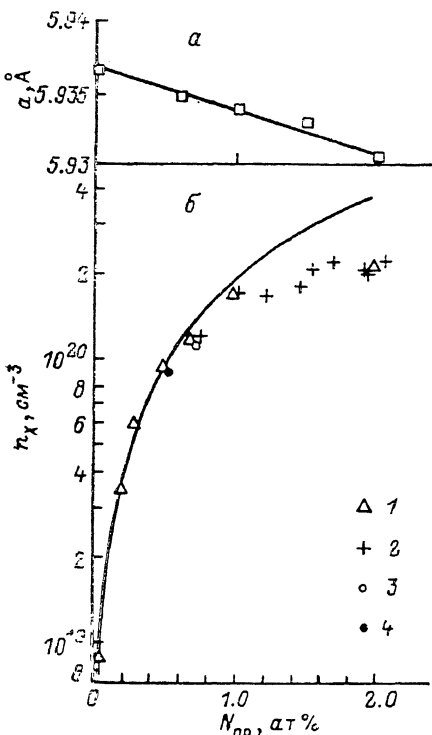


Рис. 1. Зависимость постоянной решетки для $\text{PbS}\langle\text{In}\rangle$ ($T=300$ К) (а) и холловской концентрации носителей ($T=77$ К) (б) от концентрации примесей.

$1 - \text{PbS}\langle\text{In}\rangle$, $2-4 - \text{PbS}\langle\text{In}, \text{Cl}\rangle$. N_{In} at%: 2 — 0.5, 3 — 0.2, 4 — 0.3. Сплошная линия — расчетные значения в предположении, что каждый примесный атом создает один свободный электрон.

Концентрационная зависимость термоэдс (рис. 4) свидетельствует о том, что эффекты дополнительного рассеяния преимущественно для высокоэнергетичных дырок в образцах $\text{PbS}\langle\text{In}\rangle$ и $\text{PbS}\langle\text{In}, \text{Cl}\rangle$ невелики. Налицо корреляция: при заданной холловской концентрации S снижается тем сильнее, чем больше

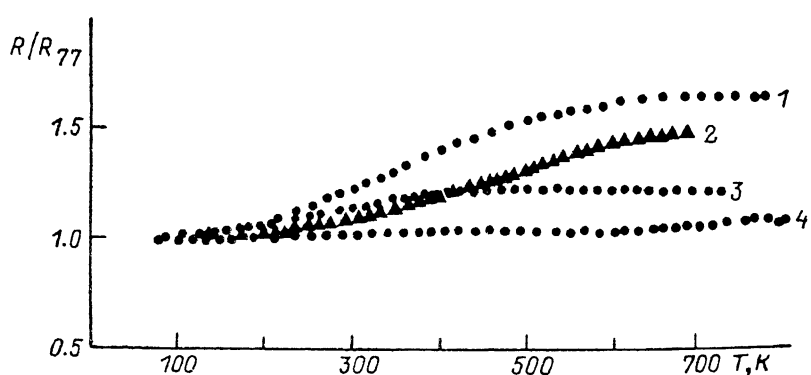


Рис. 2. Температурная зависимость постоянной Холла в $\text{PbS}\langle\text{In}\rangle$ (1, 2), $\text{PbS}\langle\text{In}, \text{Cl}\rangle$ (3), $\text{PbS}\langle\text{Cl}\rangle$ (4).

N_{In} at%: 1 — 2.0, 2 — 1.0, 3 — 0.5. N_{Cl} at%: 3 — 1.6, 4 — 1.0.

доза введенного индия. Температурная зависимость термодэс (см. вставку на рис. 4) при низких температурах иллюстрирует различие в абсолютной величине S , связанное с дополнительным рассеянием, а при $T \geq 300$ К — различие, обусловленное разным температурным ходом постоянной Холла в соответствии с данными рис. 2.

При введении индия величины подвижности ($T=77$ К) ниже имеющихся в литературе для $\text{PbS}(\text{Cl})$, но разница для образцов $\text{PbS}(\text{In})$ и $\text{PbS}(\text{In}, \text{Cl})$ не превышает разброса данных.

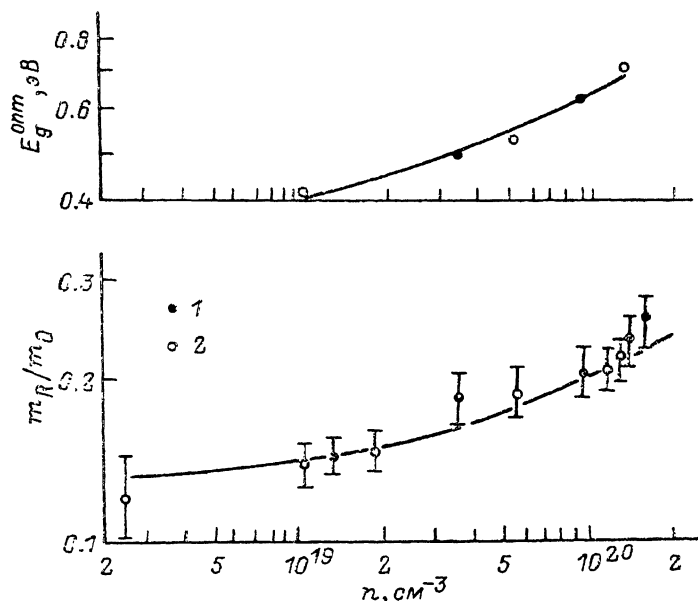


Рис. 3. Зависимость оптической ширины запрещенной зоны $E_g^{\text{опт}}$ и эффективной массы проводимости m_R от колловской концентрации носителей для $\text{PbS}(\text{Cl})$ (1) и $\text{PbS}(\text{In})$ (2) ($T=300$ К).

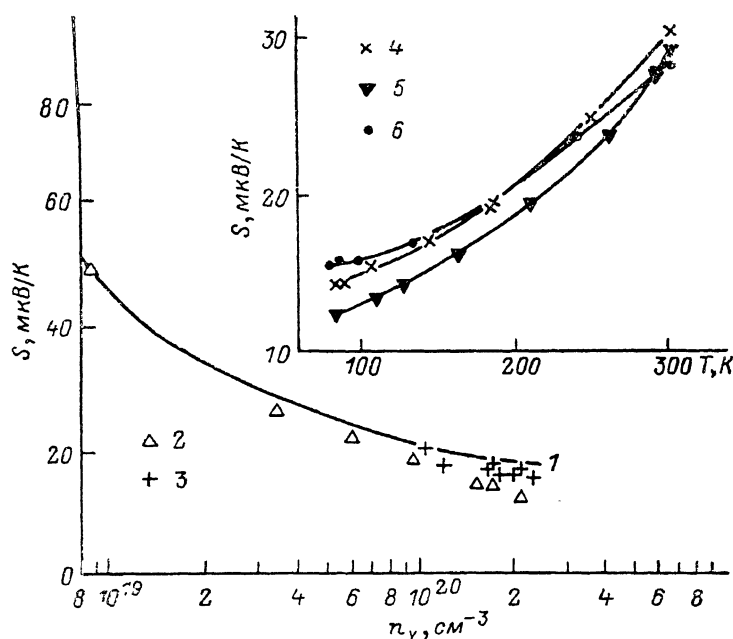


Рис. 4. Концентрационная зависимость термоэдс при $T \approx 80$ К в $\text{PbS}(\text{Cl})$ (1), $\text{PbS}(\text{In})$ (2), $\text{PbS}(\text{In}, \text{Cl})$ (3).

На вставке — температурная зависимость термоэдс для образцов: 4, 5 — $\text{PbS}(\text{In})$, 6 — $\text{PbS}(\text{In}, \text{Cl})$. $N_{\text{In}}, \text{ат}\%:$
4 — 1.0, 5 — 2.0, 6 — 0.5. $N_{\text{Cl}}, \text{ат}\%:$ 6 — 1.0.

В оптических спектрах $\alpha(\hbar\omega)$ $\text{PbS}(\text{In})$ появляются полосы дополнительного поглощения α_0 , отсутствующие в $\text{PbS}(\text{Cl})$ (рис. 5). Эти полосы обладают колоколообразной формой спектральных кривых. Красная граница примесного поглощения с ростом концентрации введенного индия (а следовательно,

и n_{X}) смещается в длинноволновую область спектра, а интенсивность полос α_0 увеличивается таким образом, что площадь, ограниченная зависимостями $\alpha_0(\hbar\omega)$ и осью энергий, оказывается пропорциональной $n_{\text{X}}N_{\text{In}}$. Это позволяет связать наблюдаемые в спектрах $\alpha(\hbar\omega)$ особенности α_0 с примесью индия. Отметим, что спектр $\alpha(\hbar\omega)$ наиболее чистого из исследованных образцов помимо полосы α_0 содержит еще две составляющие — α_1 и α_2 , отмеченные на рис. 5 стрелками. Сравнение полученных данных с результатами [10] показывает, что длинноволновые полосы α_1 и α_2 связаны с вакансиями халькогена.

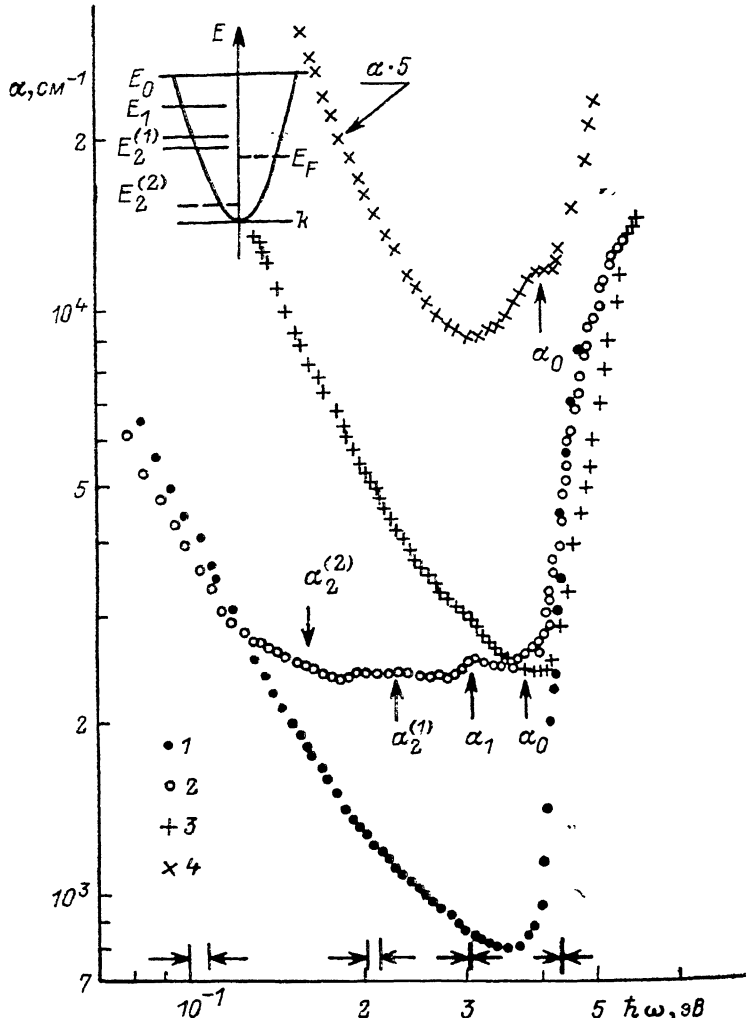


Рис. 5. Спектральная зависимость коэффициента поглощения в $\text{PbS}_{(1-x)}\text{In}_x$.

$n_{\text{X}} \cdot 10^{-19}$, см⁻³ (N_{In} , ат %): 1 — 1.24 (0), 2 — 1.08 (0.05), 3, 4 — 3.47 (0.2). T , К: 1—3 — 300, 4 — 120.

Анализируя приведенные данные, можно сделать следующие заключения. Прежде всего отметим, что введение индия не влияет заметным образом на величины основных зонных параметров сульфида свинца. Об этом свидетельствуют неизменность эффективных масс в образцах с различным составом лигатуры и независимость оптической ширины запрещенной зоны $E_g^{\text{шиг}}$ PbS от способа легирования (рис. 3).

Исходя из данных рис. 3, мы определили величину эффективной массы плотности состояний на дне зоны проводимости m_{d_0} , которая оказалась равной $(0.27 \pm 0.03) m_0$ при $T=300$ К. Учитывая выражение (6.41) из [11], получаем $m_{d_0}(77 \text{ K}) = 0.21 m_0$, что близко к данным [12].

Результаты по эффекту Холла и спектрам оптического поглощения указывают на то, что при введении индия в электронном спектре PbS появляются примесные состояния. При концентрации индия 0.5 ат% примесные состояния пусты, электроны заполняют зону проводимости. Концентрация зонных электронов повышается, если дополнительно вводить хлор. Когда концентрация хлора достигает величин 0.5 ат% и выше, идет заполнение преимущественно примесных состояний, рост n_x существенно замедляется. К сожалению, в экспериментах не удалось получить заполнения примесных состояний более чем на половину из-за ограниченной растворимости хлора (пределная растворимость порядка 1 ат%).

Энергии Ферми в режиме пиннинга были найдены по формуле (6. 27) из [11] и оказались равными 0.3 (77) и 0.26 эВ (300 К). Существенно выше в энергетической шкале расположены одноэлектронные состояния, оптические переходы в которые обнаружены в эксперименте. Расчет спектров примесного поглощения, выполненный по формуле (1) из [10], показал, что в наиболее чистом образце величина оптической энергии при перезарядке примесных центров $In^+ \rightarrow In^0 (E_0^{0 \rightarrow 1})$ составляет (0.40 ± 0.02) эВ, при повышении n_x отмечается тенденция к возрастанию $E_0^{0 \rightarrow 1}$ до (0.42 ± 0.02) эВ (при $n_x = 9.6 \cdot 10^{19} \text{ см}^{-3}$, $T = 300 \text{ К}$). Ширина примесных полос Γ_0 оказалась существенно большей, чем в PbSe [10], равной $(1.4 \pm 0.3) k_B T$. С понижением температуры до 120 К величины $E_0^{0 \rightarrow 1}$ в образцах с низкими n_x возрастают до (0.43 ± 0.02) эВ, Γ_0 уменьшается пропорционально температуре.

Значительная разница между энергией пиннинга и $E_0^{0 \rightarrow 1}$ не находит объяснения в модели [1]. Можно предполагать, что примесь индия в PbS является $U < 0$ -центром. В этом случае величина $U/2 \cong 100 \text{ мэВ}$, чем и объясняется малость резонансных эффектов.

Возможен и другой подход в отношении наблюдаемых закономерностей — изменение характера растворимости индия. В этом случае пустые и двукратно заполненные состояния примесных дефектов соответствуют разным структурным позициям примесных атомов, поэтому говорить о пиннинге уровня Ферми двухэлектронной примесной полосой не приходится [13].

Список литературы

- [1] Аверкин А. А., Кайданов В. И., Мельник Р. Б. // ФТП. 1971. Т. 5. В. 1. С. 91—95.
- [2] Андреев Ю. В., Гейман К. И., Драбкин И. А. и др. // ФТП. 1975. Т. 9. В. 10. С. 1873—1878.
- [3] Волков Б. А., Тугушев Б. В. // Письма ЖЭТФ. 1987. Т. 46. В. 5. С. 193—196.
- [4] Rosenberg A. J., Wald F. // J. Phys. Chem. Sol. 1965. V. 26. N 7. P. 1079—1086.
- [5] Рогачева Е. И., Горне Г. В., Панасенко Н. М. // Изв. АН СССР. Неорг. матер. 1979. Т. 15. В. 8. С. 1366—1369.
- [6] Александров О. В., Калюжная Г. А., Киселева К. В., Строганкова Н. И. // Изв. АН СССР. Неорг. матер. 1978. Т. 14. В. 7. С. 1277—1279.
- [7] Белоконь С. А., Дарчук С. Д., Пляцко С. В., Сизов Ф. Ф., Тетеркин В. В. // Изв. АН СССР. Неорг. матер. 1988. Т. 24. В. 10. С. 1618—1622.
- [8] Смородина Т. А., Цуранов А. П. // Письма ЖЭТФ. 1981. Т. 34. В. 2. С. 80—82.
- [9] Гуриева Е. А., Прокофьева Л. В., Равич Ю. И., Майлина Х. Р. // ФТП. 1986. Т. 20. В. 10. С. 1823—1828.
- [10] Беспалова Н. С., Вейс А. Н., Прокофьева Л. В., Майлина Х. Р. // ФТП. 1987. Т. 21. В. 11. С. 2091—2094.
- [11] Равич Ю. И., Ефимова Б. А., Смирнов И. А. // Методы исследования полупроводников в применении к халькогенидам свинца PbTe, PbSe, PbS. М., 1968. С. 313—324.
- [12] Дубровская И. Н., Равич Ю. И., Грязнов О. С. // ФТП. 1989. Т. 3. В. 12. С. 1770—1773.
- [13] Прокофьева Л. В., Гуриева Е. А., Гарциман К. Г., Жумаксанов Ш. М., Зарубо С. В., Майлина Х. Р., Уразбаева К. Т. // Препринт ФТИ АН СССР. Л., 1986. № 1049.